

2-8 地震時受働土圧の実験的研究

山口大学工学部 ○大原實生, 鈴木直孝

1. まじり 擁壁に作用する地震時土圧については1924年に物部一用部公式が提案された後にも多くの人々によって研究されて現在にいたっている。著者は先に地震時土働土圧の測定と振動台およびその上にのせる水の砂箱を用いて行ない、その結果を物部一用部公式の計算値と比較し、その検討をこころみぬ。その後もしもつづいて地震時受働土圧についても同じような実験を行なった。その結果についてのべる。

2. 実験装置 この実験に用いた水の振動台は載荷面積 $1m^2$ 許容荷重容量は500kgである。周期と振幅は振動中に連続的に変化出来る。今回の実験では周期は定数を用い、振幅は0.55 ~ 2.21mmの範囲に変化させて、震度0.1 ~ 0.4の範囲の振動によって実験を行なった。

すなわち、砂箱は深さ、幅、長さそれぞれ30cm, 56cm, 100cmの鋼板製で、振動方向に平行な30cm x 100cmの側壁の内面には厚さ1cmのスポンジゴム板をはり付けて側壁面が砂粒子の動きを拘束するのを示す。砂箱の振動方向に垂直な一端は固定し、他は自由な可動壁となっており、この可動壁の深さ5cm, 15cm, 25cmの位置に土圧計をとりつけて、可動壁に作用する土圧を測定した。この可動壁は鉛直方向には下端にある2個のローラーで支えられ、水平方向には4本のスプリングの外側から支えられている。上、下のハンドルを回転させることによりウォームギヤが駆動するスプリングが前後に動く。これにより水と壁が前後に動く。上下のハンドルの回転比をかえることにより可動壁の変位量を自由に定めることが出来る。

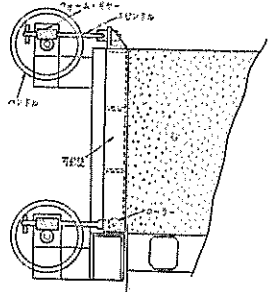


図-1 可動壁

実験には上部変位壁(下端を回転中心とし、上端を変位する壁)、下部変位壁(上端を回転中心とし、下端を変位する壁)および平行変位壁(上、下端とも同じ変位をする壁)の3種の変位型を用いた。

すなわち、このうち上部変位壁については良好な測定値が得られなかったため、測定を中止した。

可動壁の変位量は電気抵抗線式変位計によって測定した。また、振動台の加速度は電気抵抗線式加速度計によって測定した。

3. 実験方法 実験方法と順と述べてみる。まず砂箱の中に乾燥砂を詰め、後に砂流を直後の初期静止土圧を測定する。つぎに所定の震度の振動をさせる。この振動中に可動壁を定まった変位型に(2)から(4)の側に静かに変位させる。そして壁の最大変位が10mmと定めたところでハンドルを逆に回転して壁を元の位置にもどす。この過程の土圧の変化を記録する。

壁の変位は1回の砂詰めにつき $k=0.1, 0.2, 0.3, 0.4$ の各震度ごとに1回ずつ計4回の変位をくり返して実験を行なった。

この実験に使用した砂は平均粒径0.23mm、内部摩擦角 37° (単位重量1.30 g/cm^3 とす)の豊浦産準砂である。これを砂箱内に均等に詰め、つめるには次の方法を採った。

すなわち、乾燥状態の砂をバケットに入れて約上げ砂箱上約50cmの高さから布ノースを直して砂箱の中を流し込み、最後に表面を平らし、このようにしてつめられた砂の単位重量は 1.30 g/cm^3 であった。

4. 実験結果の検討 図2は実験記録の例で、(a)図が平行変位壁 (b)図は下部変位壁の記録である。

図2における5本の記録線は上から3本が深さ5cm, 15cm, 25cmの土圧変化であり、4本目の壁の変位、5本目が振動計の加速度を示す。

図2からわかることは、(a)では壁の変位が増加するにしたがってすべて深さの土圧が増加しているのに対し、(b)では壁が変位するにしたがって深さ15cm, 25cmの土圧は増大するが深さ5cmの土圧には変化は生じないということである。こゝの土圧変化は壁の変位量が約10mm程度とすると休息する。このときの土圧を振動時の受働土圧と考へる。すなわち、受働土圧は土圧振動の谷の値の土圧である。図3は振動実験に先立ち行われた静的実験の結果である。この場合も動的実験と同様に壁の変位量が10mmとすると土圧と土の受働土圧としての分布を示したものである。平行変位壁の場合にはほぼ三角形に近い土圧分布を示しているのに対し、下部変位壁の場合の分布は斜微的分布となつていくことがわかる。

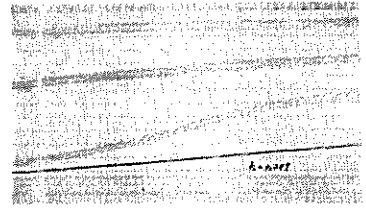


図-2(a) 平行変位壁の記録

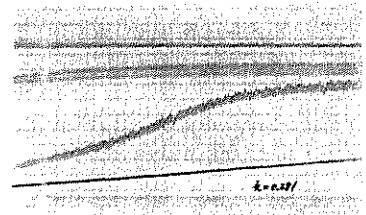


図-2(b) 下部変位壁の記録

図4は動的実験の結果で壁の変位量が10mmとなつたときの土圧、いわゆる地震時受働土圧の分布を示したものである。

震度が増加すると土圧値は小さくなる。

図-2の記録のみよりように、受働土圧では壁の変位が10mm以上とすると砂層が受働領域となつていくことがわかる。

そこで、壁の変位量と壁に作用する土圧との関係があるかを明らかにし、土圧について土圧合力を求めて、これを $\frac{1}{2} \text{ H}^2$ (H:壁高)で除して土圧係数として整理した。その結果が図5である。

実験では可動壁を4回動かして受働土圧の測定を行つており、図を重複するようにして壁付近の砂層は少しづつ締まるので、土圧の測定値も1回ごとにその値が小さくなる傾向がある。砂層の表面以下より壁付近の単位重量を求めた結果では、最初 1.30 g/cm^3 の単位重量の砂層が4回の壁の変

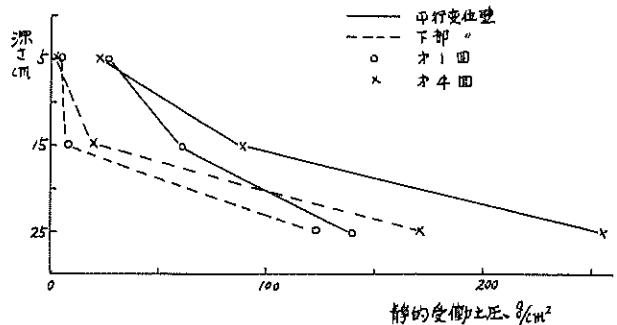


図-3 受働土圧分布

在後では片の単位重量は約 1.40 g/cm^3 となつてゐることをわかつた。

このときの内部摩擦角は 42° 程度となつてゐることをわかつた。このときの土の単位重量の三軸試験の結果はつづいて示す。

そこで第1回目の測定と第4回目の測定とを圖-5に示した。圖-5(A)が平行変位壁の結果であり、圖-5(B)が下部変位壁の結果である。いつか七下の圖が土圧係数と壁変位量の関係であり、上の圖は土圧合力の作用高と壁変位量の関係である。

圖-5の結果からわかるように壁の変位量が 10 mm となつたとき、土圧係数の変化がはげしくなつた状態となるので、このときの土圧係数を地震時受働土圧係数と考へ、こゝと震動との関係をおもひ。圖-6に示してある。圖-6の中へ点線は壁面をさつ角 $\delta = 0^\circ$ のときの物部-周部公式の値である。

以上の実験結果から次のことをいふ。

- (1) 平行変位壁の場合の第1回目の壁変位時の測定結果は物部-周部公式の値とほぼ完全に一致してゐる。
- (2) 下部変位壁に作用する地震時受働土圧係数は物部-周部公式よりもかなり小さく、その値も三角形とならない。
- (3) 地震時受働土圧の分布形は斜めの場合のそれと全く相似してゐる。

以上

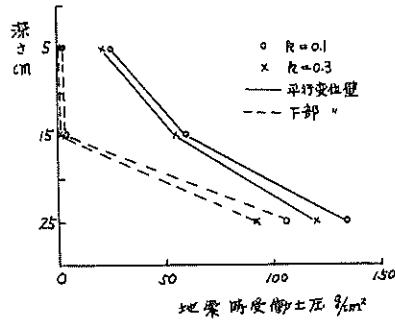


圖-4 地震時受働土圧分布

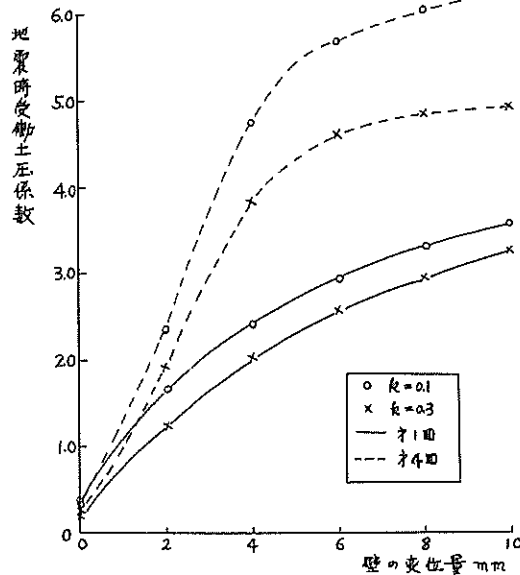
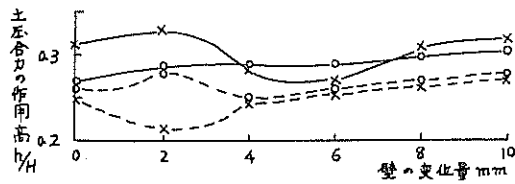


圖-5(A) 平行変位壁の場合

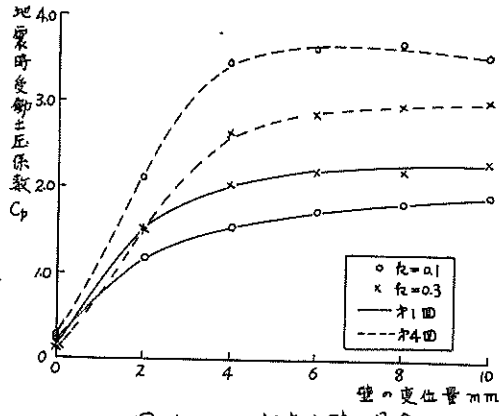
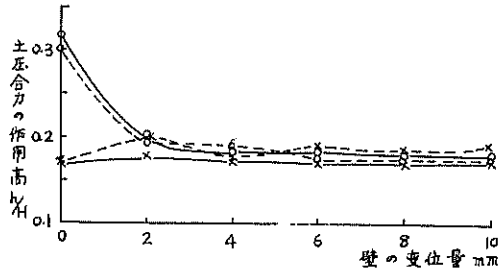


図-5 (b) 下部変位壁の場合

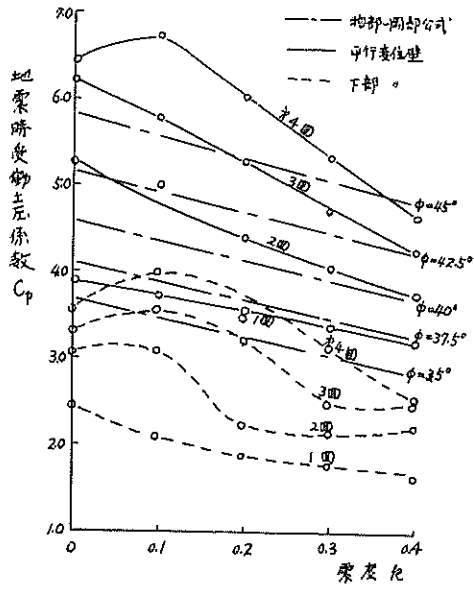


図-6 地震時土圧係数と震度の関係